

la hipótesis de Louis de Broglie

Teléstividad $\Rightarrow E = pc$ (c un)

Planck $\cdot E = h\nu$

$$pc = h\nu \Rightarrow p = \frac{h\nu}{c} = \frac{h}{\lambda}$$

$$p = \frac{h}{\lambda}$$

paso la
 un

1924'. Broglie $\rightarrow p = \frac{h}{\lambda}$ válido también para partículas de materia.

$$\Rightarrow \lambda = \frac{h}{p}$$

1925'. Davisson & Germer descubren efecto de difracción de electrones, cuando los de 40 (eV) inciden sobre un monocristal de níquel.

1937'. Stein & Frisch obs. difracción de átomos de He sobre cristales de fluoruro de litio.

Mas sobre de Broglie

Luz: $E = h\nu = \frac{hc}{\lambda}$ $\Rightarrow pc = \frac{hc}{\lambda} \Rightarrow \boxed{\lambda = \frac{h}{p}}$

Motivo: por ej., $\lambda = \frac{hc}{E}$ que es igual a $\frac{h}{p}$ sólo para la luz.

$$\downarrow mc^2 = h\nu \leftarrow \text{interval frequency de "algo"}$$

"desplazamiento" acr. a este "vibración" $\Psi = A \sin(2\pi\nu t)$

En otros sist. coord. donde la partícula se mueve a veloc. v :

$$t' = \frac{t - x'v/c^2}{\sqrt{1 - (v/c)^2}}^{1/2}$$

$$\Psi = A \sin \left(2\pi\nu \left(\frac{t' - x'v/c^2}{\sqrt{1 - (v/c)^2}} \right) \right)$$

mas general $\Psi = A \sin [2\pi \left(\frac{t'}{T} - \frac{x'}{\lambda} \right)]$

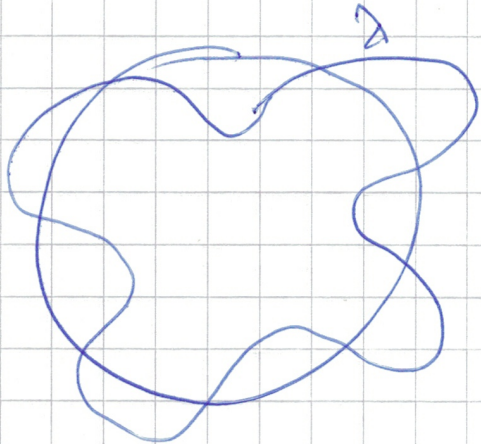
onde sinusoidal vibrante

$$\Rightarrow \frac{2\pi}{\lambda} = \frac{2\pi\nu v/c^2}{\sqrt{1 - (v/c)^2}}, \text{ pero } \nu = mc^2/h$$

$$\Rightarrow \frac{h}{\lambda} = \frac{mv}{\sqrt{1 - (v/c)^2}} = p \Rightarrow \boxed{\lambda = \frac{h}{p}}$$

es consistente con la relatividad

El Atomo de H según De Broglie



Interferencia constructiva:

$$2\pi R = n\lambda, \text{ con } \lambda = h/p$$

$$\frac{mv^2}{R} = \frac{e^2 Z e}{R^2} \Rightarrow (mv)^2 = \frac{Z e m}{R} \quad (1)$$

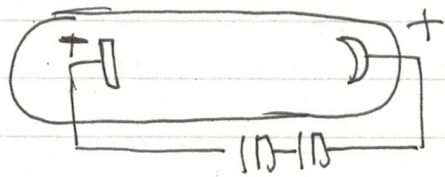
$$\text{de } 2\pi R = n\lambda = \frac{nh}{p} = \frac{nh}{mv} \Rightarrow R = \frac{n\hbar}{mv} \quad (2)$$

$$\Rightarrow R^2 = \frac{n^2 \hbar^2}{(mv)^2} = \frac{n^2 \hbar^2}{m^2 Z e^2} R \Rightarrow \boxed{R = \frac{n^2 \hbar^2}{m^2 Z e^2}} \quad (3)$$

$$\text{Por otro lado, } E = -\frac{Z e^2}{2R} \Rightarrow \boxed{E_n = -\frac{m^2 Z^2 e^4}{2 \hbar^2} \cdot \frac{1}{n^2}} \quad (4)$$

onda estacionaria se auto-interfiere constructivamente

Raios X: Descubiertos por W.K. Röntgen en 1895



- (a) los rayos X se producen cuando los rayos catódicos chocan contra una superficie sólida
- (b) los rayos X no son deflectados por campo \vec{B} .
- (c) El paso de rayos X a través de un gas, incrementa la conductividad eléctrica del gas.
- (d) las emulsiones fotográficas son visibles a los rayos
- (e) los rayos no son refractados apreciablemente por el paso a través de la materia.

Aplicación [inesperada]: Fotografía de los huesos del cuerpo humano

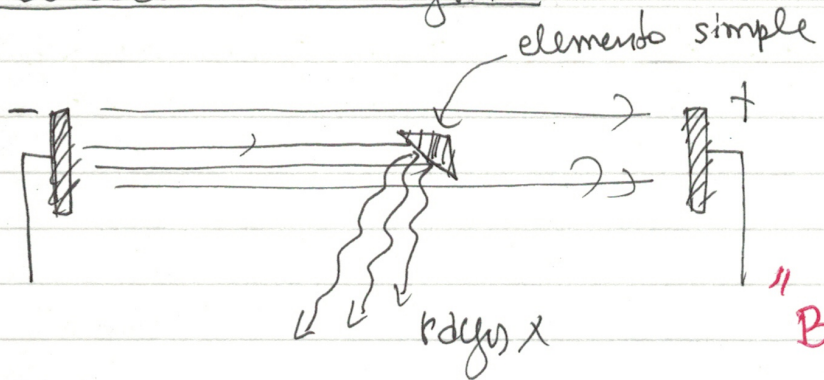
Van Loon: Los rayos X son difractados por cristales

→ carácter ondulatorio

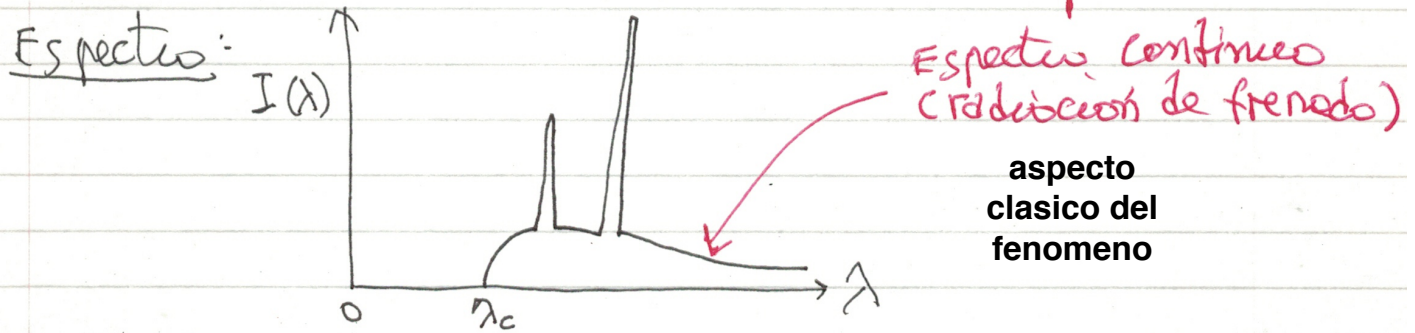


Figura 3. Radiografía de la mano de Anna Roentgen.

Producción de rayos X



BREMSSTRÄHLUNG

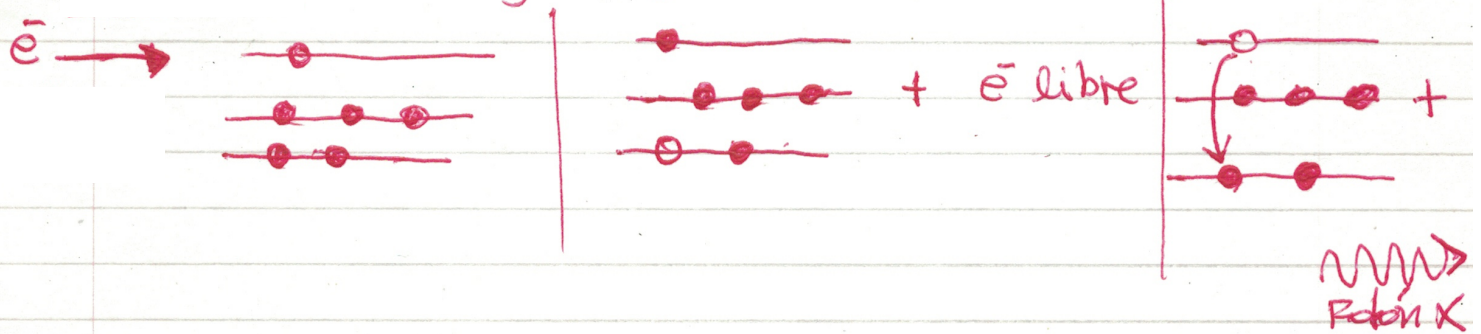


$$\text{Max. energía fotón: } E_{\max} = h\nu_c = \frac{hc}{\lambda_c} = eV$$

$$\Rightarrow \lambda_c = \frac{hc}{eV}$$

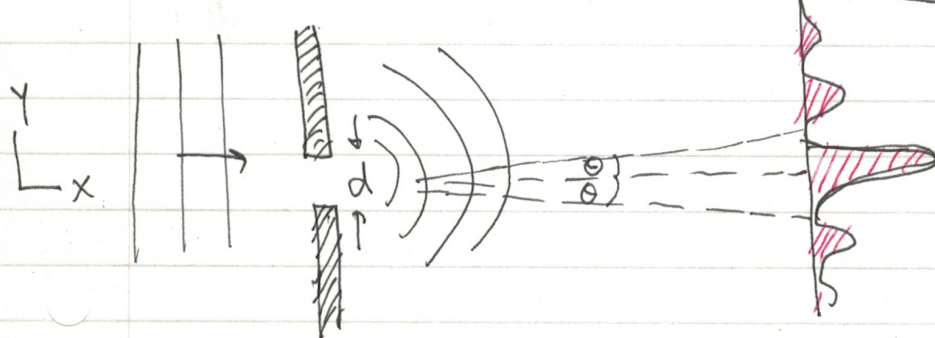
$$\text{para } V=12.400 \text{ [V]} \rightarrow \lambda_c \approx 1 \text{ Å}$$

modelo cuántico (Moseley, 1913) : (usando teoría de Bohr)



Principio de incertezas

Ej: fotón con momento p , incidente sobre neutrino de diámetro d .



se cumple:

$$\frac{m\lambda}{d} = \sin\theta_m \quad (+)$$

$$(m + \frac{1}{2})\frac{\lambda}{d} = \sin\theta_m \quad (-)$$

Fotón cruza neutrino \Rightarrow medición coord y del fotón, con error $\Delta y = d/2$

Antes de cruzar $P_y = 0$; después adquiere $\Delta P_y \approx p \sin\theta$

$$\Rightarrow \Delta y \Delta P_y \approx \frac{d}{2} \cdot p \sin\theta = \frac{dh}{2\lambda} \sin\theta = \frac{h}{2} \quad (2)$$

Ej2: e^- localizado en una zona de dimensiones atómicas

$$\Delta X \sim a_0 = 0.5 \text{ Å}$$

$$\Delta v = \frac{\Delta p}{me} = 0 \left(\frac{h}{mc\Delta X} \right) = \frac{1.054 \times 10^{-27}}{9.1 \times 10^{-28} \times 0.5 \times 10^8} = 2000 \text{ [km/s]}$$

del orden de la velocidad promedio de un e^- atómico

Protón localizado en una zona de dim. atómica =

$$\Delta v_p = 0 \left(\frac{1}{2000} \Delta v_e \right) = 1 \text{ [km/s]}$$

e^- loc. en zona de dim. nucleares.. $\Delta X \sim 10^{-12} \text{ cm}$

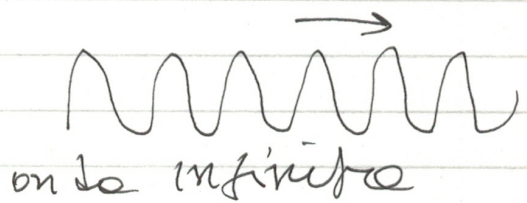
de acuerdo a de Broglie, para el partícula con momento bien def. P , $\lambda = \frac{h}{P}$

$$\Psi = A \sin\left(\frac{2\pi}{\lambda}x - \frac{2\pi}{T}t\right) = A \sin(kx - \omega t)$$

$$E = \hbar\omega = \frac{\hbar}{2\pi}\omega = h\nu = A \sin\left(\frac{2\pi P x}{\hbar} - \frac{2\pi E t}{\hbar}\right)$$

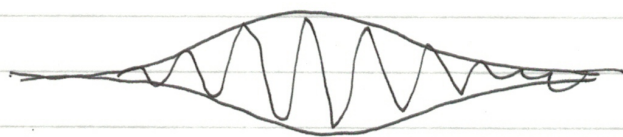
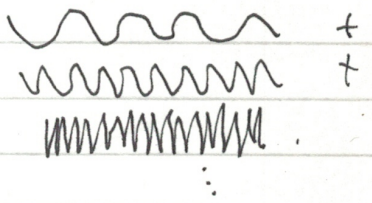
$$\omega = \frac{E}{\hbar}$$

$$\Psi(x, t) = A \sin\left[\frac{P}{\hbar}x - \frac{E}{\hbar}t\right]$$



clase). no representa una partícula "respondeable"

→ recibimos ondas más localizadas.



→ Se reciben superponer un # de ondas planas ∞ , contenidas diferentes P .

si el "tamaño" espacial del pulso es Δx , el orden de ps recibidos será ΔP , donde

$$\Delta x \Delta P \geq cte.$$

$$\frac{\pi}{\hbar/2}$$

de la teoría general
de Fourier